

# بررسی تأثیر فاصله‌داری و شیب دسته درزه بر عملکرد تیغه‌ی ماشین حفر تونل (TBM) به روش عددی، و مقایسه‌ی نتایج در حالت دو بعدی و سه بعدی

امیرعبدالله ایلانزاده (دانشجوی کارشناسی ارشد)

مصطفی شریف‌زاده (استادیار)

محسن شریفی (دانشجوی دکتری)

دانشکده‌ی هنر، هنرورزی و فن، دانشگاه صنعتی امیرکبیر

عملکرد ماشین حفر تونل<sup>۱</sup> (TBM) تا حدی به عملکرد تیغه<sup>۲</sup> های آن بستگی دارد؛ این در حالی است که بسیاری از عوامل زمین‌شناسی و نیز شرایط توده‌سنگ در عملکرد تیغه‌ها مؤثرند. در این نوشتار دو مدل عددی دو بعدی و سه بعدی بر پایه‌ی روش اجزاء مجزا، به منظور بررسی اثرات شیب و فاصله‌داری دسته درزه‌ها بر فرایند برش سنگ بهوسیله‌ی تیغه‌های TBM معرفی شده‌اند. متغیرهای مورد مطالعه شامل زاویه‌ی شیب متغیر درزه در حالت فاصله‌داری ثابت، و نیز فاصله‌داری متغیر در حالت شیب ثابت درزه هستند. نتایج حاصله از این دو مدل نشان می‌دهند که: اولاً زاویه‌ی بحرانی شیب دسته درزه بین ۴۵ تا ۶۰ درجه خواهد بود، که در آن احتمال بیشترین پیش روی وجود دارد؛ ثانیاً فاصله‌داری بحرانی که در آن تأثیر فاصله‌داری بر میزان تنفس بحرانی کاهش چشمگیری می‌یابد فاصله‌ی ۲۰۰ میلی‌متری است.

واژگان کلیدی: ماشین حفر تونل، تیغه، فاصله‌داری دسته‌درزه و شیب دسته‌درزه.

## ۱. مقدمه

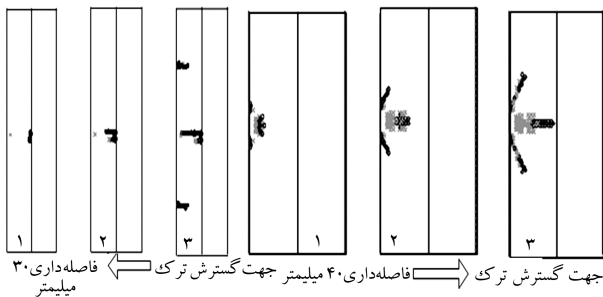
همین راستا و با توجه به پیشرفت مناسب روش‌های مدل‌سازی عددی و نرم‌افزارهای رایانه‌یی مبتنی بر آن طی سالیان اخیر، می‌توان از آن به صورت ابزاری مفید و کارا در شیوه‌سازی فرایند برش سنگ توسط تیغه و کنش متقابل سنگ و تیغه‌ی ماشین، سود برد.

از جمله مدل‌های عددی شیوه‌سازی شده به این منظور، می‌توان از مدل‌های دو بعدی<sup>[۱، ۲]</sup> و سه بعدی<sup>[۳]</sup> برمبنای روش عددی اجزاء مجزا، برای بررسی اثر فاصله‌داری و شیب درزه بر عملکرد تیغه‌ی TBM به کمک نرم‌افزارهای UDEC و ۳DEC نام برد. هدف این نوشتار بررسی دو مدل، مقایسه‌ی نتایج حاصل از آنها و نیز تبیین نقاط ضعف و قوت هر دوی از آنها است.

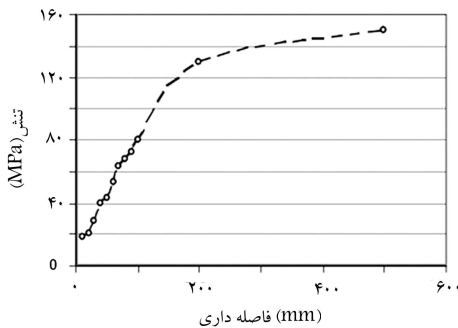
## ۲. مراحل تحلیل دو بعدی

چنان‌که در شکل ۱ دیده می‌شود، ابعاد تمام مدل‌های محاسباتی ۶/۰ متر و برابر با فاصله‌ی دو تیغه‌ی مجاور فرض شده است<sup>[۱]</sup>، و نیز یک سری درزه‌های زاویه‌دار یا عمودی در آن پیش‌بینی شده‌اند. سنگ از جنس گرانیت است و اثر تیغه‌ی دیسکی به صورت نیرویی عمودی که بر وسط بخش سمت چپ و در یک ضخامت ۱۵ میلی‌متر وارد می‌شود، مدل‌سازی شده است. به دلیل دو بعدی بودن مدل، نیروی

با پیشرفت ماشین‌های حفر تونل (TBM) و استفاده از آنها در شرایط مختلف زمین‌شناسی، و نیز توسعه‌ی تیغه‌های چرخشی با قطر بزرگ -- به خصوص تیغه‌های دیسکی -- این ماشین به طور گستردۀ و روزافزون در حفاری تونل به کار رفته، و پیش‌بینی عملکرد آن به دلیل حجم بالای سرمایه‌گذاری مورد نیاز، به بخش مهمی از برنامه‌ریزی پروژه‌ها و انتخاب روش تونل‌سازی تبدیل شده است. در این راستا درک چگونگی تأثیر پارامترهای توده‌سنگ، از جمله پارامترهای درزه بر عملکرد اجزای ماشین، دارای اهمیت است<sup>[۱، ۲]</sup>. در سال‌های اخیر مدل‌های پیش‌بینی زیادی براساس مشاهدات آزمایشگاهی ایجاد شده‌اند. برخی از این مدل‌ها تک‌عاملی‌اند و فقط برای محاسبه‌ی عملکرد ماشین‌ها در سنگ‌های همگن و همسان‌گرد مناسب‌اند، و برخی دیگر مدل‌هایی جامع‌اند که براساس آزمون‌های آزمایشگاهی و مشاهدات محلی و برخا ایجاد شده‌اند. در این مدل‌ها بر اهمیت فاصله‌داری درزه‌ها در عملکرد ماشین حفر تونل تأکید شده است ولی نبود درک کافی از فرایند برش سنگ، به دلیل پیچیدگی بسیار زیاد ماهیت کنش متقابل سنگ و تیغه‌های ماشین، نقطه‌ی ضعف این مطالعات عنوان می‌شود. برهمین اساس، اهمیت و ضرورت بررسی‌های بیشتر و دقیق‌تر پیرامون «تأثیر درزه بر عملکرد ماشین و تیغه‌های آن» روشن می‌شود. در



شکل ۳. تغییر جهت گسترش ترک در فاصله داری ۴۰ میلی متر.



شکل ۴. تغییرات تنش منجر به شکست نسبت به فاصله داری [۲].

با مساوی ۴۰ میلی متر باشد؛ دیگری ایجاد ترک از بخش خردشده و گسترش آن تا صفحه درزه، وقتی که فاصله داری درزهها بیش از ۴۰ میلی متر باشد. در شکل ۳ چگونگی گسترش ترک در این دو حالت نشان داده شده است. این پدیده همانند بارگذاری یک تیر است. وقتی که فاصله داری درزهها به ۵۰ میلی متر می رسد، روش ایجاد ترک شبیه حالت نفوذ یک تغییر در ماده سنگ بدن درزه ها بدون درزه خواهد شد. بنابراین، اثر درزه در خردشدن توده سنگ بسیار کوچک است. نتایج شبیه سازی در شکل ۴ ارائه شده است.

تغییرات تنش منجر به شکست برای مقادیر مختلف فاصله داری درزهها در شکل ۴ نشان داده شده است. چنان که در این شکل ملاحظه می شود، فاصله داری ۲۰۰ میلی متر یک «نقشه بحرانی» است. در فاصله داری کمتر از ۲۰۰ میلی متر تنش لازم برای ایجاد ترک، با افزایش فاصله داری درزهها به سرعت افزایش می یابد؛ این در حالی است که برای فاصله داری بیش از ۲۰۰ میلی متر، با افزایش فاصله داری درزهها مقدار تنش به تدریج افزایش می یابد [۲].

### ۳.۲. اثرباری و امتداد درزه بر فرایند شکست

نفوذ تغیه ها ممکن است از دو زاویه تأثیر پذیر باشد: زاویه  $\alpha$  بین محور توپل و صفحه درزه، و زاویه  $\beta$  بین امتداد تغییری دورانی و اثر درزه در سطح سینه کار توپل. تجارت قبلی نشان داده است که اثر زاویه  $\beta$  بر پیش روی ماشین آشکار نیست [۱] زیرا هنگام پیش روی ماشین، و انجام حرکت دایره ای متحدم مرکز تغیه،  $\beta$  بی اثر شده و اثر آن ناپذید می شود.

با توجه به اثر درزه و جهت یافته گی آن، درزه ها و ترک های ناشی از تغیه های ماشین (TBM) به طور متقاضی گسترش نمی یابند بلکه با افزایش زاویه  $\alpha$  (از ۱۵ تا ۷۵ درجه)، زاویه  $\beta$  شکست سنگ هم افزایش می یابد. وقتی زاویه  $\beta$  درجه است، گسترش ترک های جانبی از جهت یافته گی درزه ها تأثیر نمی پذیرد و زاویه  $\beta$  شکست درحدود ۳۵ تا ۴۵ درجه است که با ترک های مخروطی هارتزین (Hertzian) با

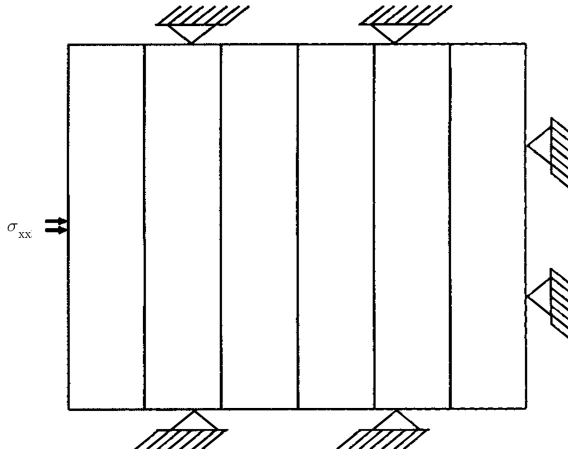
چرخشی وارد بر تغیه ها را نمی توان در نظر گرفت. همچنین مرزهای مدل، به جز مرزی که نیرو به آن وارد می شود، ثابت فرض شده اند.

### ۱.۲. نفوذ در ماده سنگ با یک تغیه

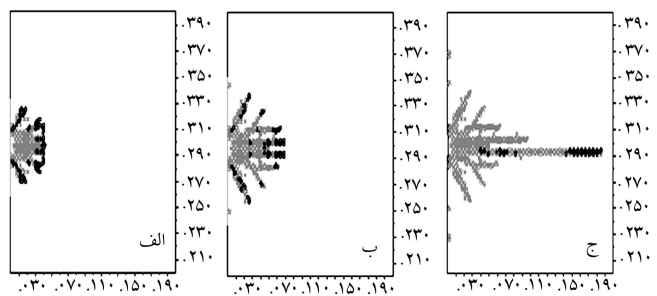
الگوی شکاف مدل سازی شده در ماده سنگ براساس عملکرد یک تغیه واحد در شکل ۲ نمایش داده شده است. برای مشخص کردن این فرایند (شکست و نفوذ) ناحیه های شکست به صورت گام به گام در یک نمای بزرگ شده (مانند شکل ۲) نشان داده شده اند. ایجاد شکاف و فرایند گسترش و پخش آن را می توان به سه بخش تقسیم بندی کرد: تشکیل یک ناحیه خردشده، تشکیل ناحیه ریشکاف و توسعه ای ترک ها، و شکاف های بزرگ. وقتی یک تغیه برای مرتبه اول روی سنگ بارگذاری می شود، یک شکست بازبزنی ایجاد می شود (شکل ۲الف). عقیده بر این است که مرز ناحیه شکست با شکست کششی کترل می شود. بلا فاصله در زیر دو گوشه ای تغیه ترک های پهلوی ایجاد می شوند (شکل ۲الف و ۲ب). چنان که مشاهده می شود، بخش زیر تغیه ها نسبتاً دست نخورده باقی می ماند و با افزایش مقدار نفوذ، منطقه خردشده می درزد و ایجاد شده و در نهایت ترک های بزرگ شعاعی تولید می شوند (شکل ۲ج) [۱].

### ۲.۱. اثر فاصله داری درزه بر فرایند شکست

در حالت کلی دو مدل برای ایجاد و گسترش ترک های سنگ وجود دارد: یکی ایجاد ترک از صفحه درزه و گسترش آن تا سطح آزاد، در حالتی که فاصله داری درزه ها کمتر



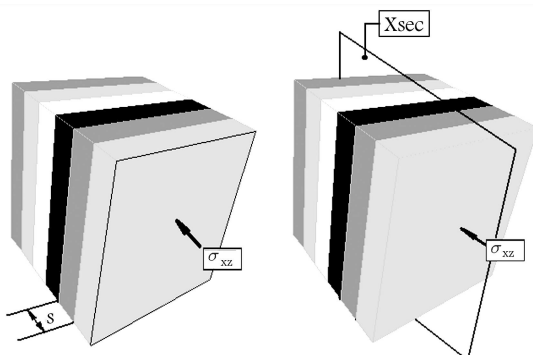
شکل ۱. مدل شبیه سازی عددی با فاصله داری [۲].



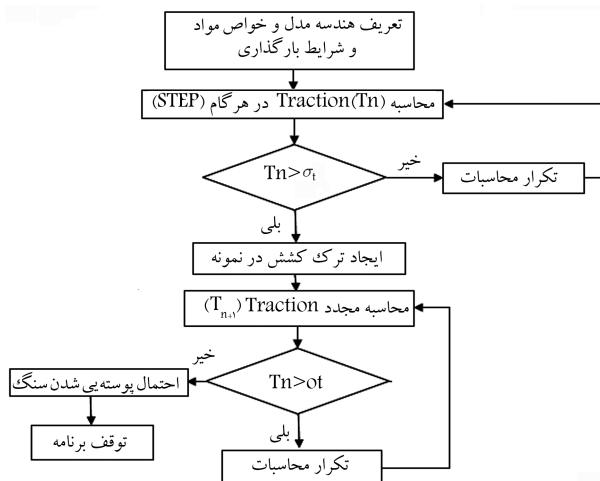
شکل ۲. فرایند نفوذ تغیه [۲].

کششی در شکست نقش مؤثری دارد. بنابراین از بین سه متغیر یادشده، مقادیر تنش کششی القابی برای تحلیل نتایج به دست آمده به صورت گام به گام و در مقاطع مرکزی (X-section) و مقاطعی به موازات آن و به فواصل  $15, +0, -0, 15, +0, -0, 3$  (شکل ۷).

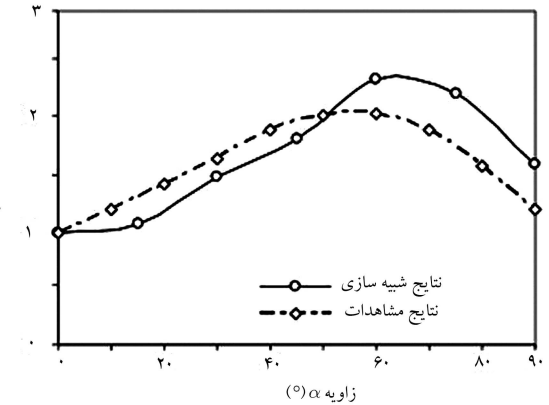
متر برای بررسی شرایط در سه بعد، ثبت شدند (شکل ۷). چنان‌که دیده می‌شد، تحلیل این الگوریتم به این ترتیب است که در هر گام اگر میزان تنش کششی القابی ( $T_n$ ) از مقدار مقاومت سنگ بیشتر باشد، از آن به عنوان ایجاد ترک کششی در نمونه یاد می‌شود<sup>[۸]</sup> (تشن ترک). سپس مرحله‌ی بعد مورد توجه قرار می‌گیرد و فرایند فوق تکرار خواهد شد. این فرایند تا زمانی که تنش القابی کششی افزایش یابد، صرف نظر از این‌که منجر به ترک شود یا خیر، ادامه می‌یابد و در صورتی که در یک گام، مقدار تنش ثابت بماند یا کم شود، این حالت را می‌توان با توجه به مقاومی نمودار تنش-کرنش و به‌دلیل کاهش ناگهانی میزان تنش القابی، و نیز با توجه به این نکته که ایجاد تراشه‌ی سنگ باعث کاهش ناگهانی فشار بخش خردشده و در تیجه‌ی کاهش مقدار تنش القابی و جلوگیری از گسترش ترک در سایر بخش‌ها می‌شود<sup>[۶, ۷]</sup> به عنوان احتمال ایجاد تغییر در ساختار سنگ، پوسته‌ی شدن سنگ و در نهایت انتقال نیرو به سطح جدید سنگ تفسیر کرد. میزان تنشی که در آن احتمال ایجاد تراشه وجود دارد، به عنوان تنش کششی بحرانی در هر مقاطع ضبط شده و در فاصله‌داری‌ها و جهت‌یافتنگی‌های مختلف درزه‌ها، و نیز در مقاطع مختلف با هم مقایسه می‌شوند تا فاصله‌داری و زاویه‌ی شبیه‌سازی در سه بعد تخمین زده شوند<sup>[۳]</sup>.



شکل ۶. هندسه‌ی مدل شبیه‌سازی سه بعدی<sup>[۳]</sup>.



شکل ۷. الگوریتم تحلیل نتایج مدل سه بعدی<sup>[۲]</sup>.



شکل ۵. اثر جهت‌یافتنگی بر شاخص نفوذ تیغه<sup>[۱]</sup>.

زاویه‌ی کنندن  $30^\circ$  تا  $40^\circ$  درجه مطابق است. وقتی که زاویه‌ی  $\alpha$  صفر درجه است، زاویه‌ی شکست در حدود  $60^\circ$  درجه است، یعنی از وقتی که زاویه‌ی  $90^\circ$  درجه باشد، بزرگ‌تر است. در شکل ۵ اثر زاویه‌ی جهت‌یافتنگی درزه بر شاخص نفوذ تیغه در دو حالت اندازه‌گیری بر جا و نیز نتایج حاصل از مدل نشان داده شده‌اند. شایان ذکر است که شاخص نفوذ تیغه عبارت است از نسبت نیروی هر تیغه به سرعت نفوذ آن، و بنابراین هرچه این مقدار بیشتر باشد نمایان‌گر مشکل تر بودن حفاری است. چنان‌که در شکل مشاهده می‌شود، نتایج به خوبی با هم مطابقت دارند و نیز با افزایش زاویه‌ی  $\alpha$ ، میزان نفوذ تا زمانی که مقدار  $\alpha$  به  $60^\circ$  درجه برسد افزایش می‌یابد، و پس از آن با افزایش بیشتر  $\alpha$  کاهش می‌یابد<sup>[۱]</sup>.

#### ۴.۲. خلاصه‌ی نتایج تحلیل دو بعدی

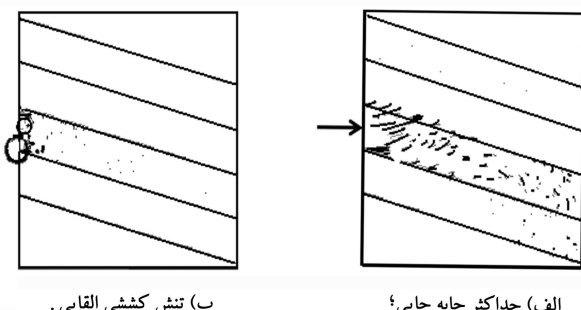
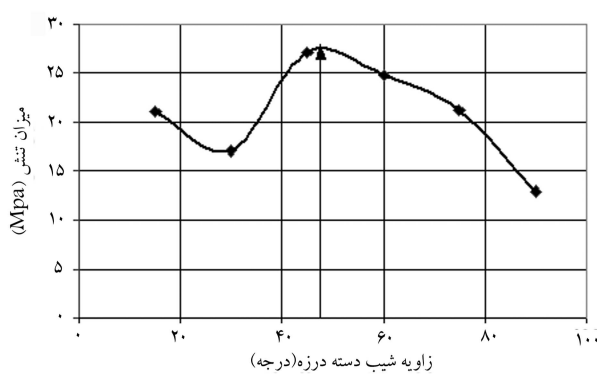
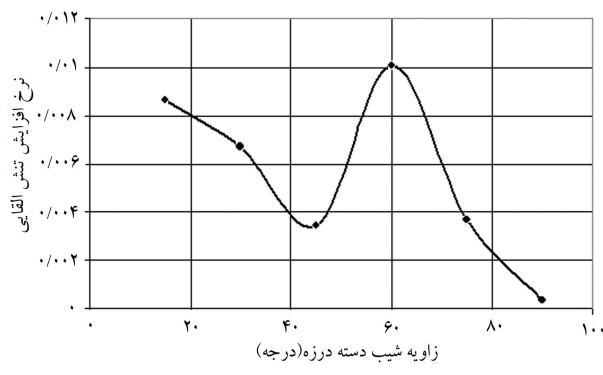
فرایند شکست را می‌توان به سه پله تقسیم‌بندی کرد، تشکیل ناجیهی خرد شده، تشکیل یک بخش ریزترک، و گسترش ترک‌های بزرگ. ایجاد و گسترش ترک‌ها عموماً در طول مرز ناحیه‌ی شکست کششی انجام می‌شود و با توجه به وجود صفحه درزه در زیر تیغه، میدان تنش پایه به دو سمت تیغه منحرف می‌شود. این موضوع باعث تغییرات در زاویه‌ی شکست سنگ می‌شود و رسید و گسترش ترک‌ها در صفحات جدایی درزه‌هایی که در سر راه توسعه‌ی ترک‌ها قرار دارند، خاتمه می‌یابد.

#### ۳. مراحل تحلیل سه بعدی

مدل محاسباتی به کار رفته در تحلیل سه بعدی به طور شماتیک در شکل ۶ نشان داده شده است.

هر بعد مدل ساخته شده  $1200$  میلی‌متر است، که این ابعاد تقریباً معادل ابعاد بلوکی است که به وسیله‌ی یک تیغه (TBM) نمونه تحت تأثیر قرار می‌گیرند. در عمل نیروی چرخشی مؤثر بر تیغه در این مدل به منظور ایجاد شرایط یکسان در شبیه‌سازی با مدل دو بعدی، لحاظ نشده است و تمامی مرزهای، به جز مزی که باز به آن وارد می‌شود، به عنوان مرزهای بدون جایه‌جایی و ثابت در نظر گرفته شده‌اند.

در تحلیل سه بعدی، برای بررسی وضعیت سنگ و چگونگی ایجاد شکست در زوایای مختلف و همچنین در حالت سه بعدی، مقادیر سه متغیر: ۱. تنش‌های کششی القابی؛ ۲. تنش‌های برشی القابی؛ ۳. بیشینه‌ی جایه‌جایی، مورد توجه قرار گرفت. در مطالعات انجام شده<sup>[۶, ۷]</sup> این نکته به اثبات رسیده است که عامل ایجاد و گسترش شکست در زیر تیغه‌ها (TBM) از نوع شکست کششی بوده و مؤلفه‌ی تنش

شکل ۸. نتایج حاصل از مدل در زاویه‌ی ۱۵ درجه<sup>[۲]</sup>.شکل ۹. تغییرات نتش در زوایای مختلف شیب درزه<sup>[۲]</sup>.شکل ۱۰. رخ افزایش نتش بر حسب زاویه‌ی درزه<sup>[۲]</sup>.

نیز مبین این نکته است که در این ضخامت و نیز ضخامت‌های کم‌تر، شکست و ترک از سطح درزه آغاز شده و به سطح آزاد می‌رسد. در مقادیر بزرگ‌تر این روند معکوس است.

۳. مقادیر نتش القایی تا قبیل از فاصله‌داری  $100\text{ میلی‌متر}$  به شدت تغییر می‌کنند ولی پس از آن شدت تغییرات کاهش می‌یابد و در مقادیر بزرگ‌تر از  $200\text{ میلی‌متر}$  روند تقریباً ثابتی پیدا می‌کند. شکل ۱۱ نشان‌دهنده‌ی تغییرات نتش بحرانی به نتش سنگ بکرنسبت به فاصله‌داری است.

### ۳.۳. خلاصه‌ی نتایج تحلیل سه‌بعدی

ایجاد و گسترش ترک‌ها عموماً در طول مرز ناحیه‌ی شکست کششی انجام می‌شود. نتایج نشان می‌دهند که دو نوع روش برای ایجاد ترک و گسترش آن می‌توان قابل شد:

### ۱.۳. بررسی اثر زاویه‌ی شیب و امتداد دسته درزه

شیب دسته درزه اثر بسیار مهمی بر مقاومت توده‌سنگ و برکارایی و بازده روش‌های حفاری دارد. در مدل استفاده شده فاصله‌داری ثابت و بهمیزان  $200\text{ میلی‌متر}$  است و زاویه‌ی شیب بین مقادیر  $15^\circ, 30^\circ, 45^\circ, 60^\circ$  و  $90^\circ$  و با فرض امتداد عمود بر امتداد ثابت تونل انتخاب شد، و با توجه به الگوریتم پیشنهادی (شکل ۷) مطالعات انجام شده و نتایج بررسی شدند. در این نوشتار خلاصه‌ی از نتایج در زاویه‌ی شیب  $15^\circ$  درجه، به عنوان نمونه‌ی ارائه شده، و در ادامه مقایسه و بحث بین نتایج بدست آمده در زوایای مختلف آورده شده است.

### ۱.۱.۳. نتایج حاصل از مدل در زاویه‌ی $15^\circ$ درجه

با توجه به نتایج حاصله و با توجه به الگوریتم ارائه شده در شکل ۷، میزان نتش القایی کششی در سنگ در همان ابتدای بارگذاری به حد می‌رسد که از مقدار مقاومت کششی بیشتر باشد، و بنابراین منجر به ایجاد ترک شده است. این وضعیت تا  $50^\circ$  ادامه داشته و در این مرحله به یک باره میزان نتش ثابت مانده و دچار تغییر نمی‌شود. این حالت را می‌توان به عنوان احتمال ایجاد شکست در سنگ (ایجاد تراشه) و انتقال نیرو به سطح جدیدی از سنگ تعبیر کرد. در شکل ۸ وضعیت نتش‌های القایی کششی و بیشینه جابه‌جایی در مقطع مرکزی و در لحظه‌ی ایجاد تراشه و محل اثر نیرو، دیده می‌شوند<sup>[۲]</sup>.

### ۲.۱.۳. مقایسه‌ی نتایج به دست آمده در زوایای مختلف

مقایسه‌ی نتایج در زوایای مختلف در مقطع مرکزی و مقطع موازی آنها مشخص می‌کند که تقریباً در تمامی موارد نتش بحرانی در مقطع مرکزی اتفاق می‌افتد. تغییرات مقادیر نتش‌های بحرانی در زوایای مختلف در شکل ۹ نشان داده شده است. با توجه به این نکته که القای نتش بحرانی در تمام مقطع در یک محدوده‌ی تقریباً ثابت اتفاق افتاده است و طبیعتاً ایجاد ترک کششی نیز در این محدوده و قبل از آن بوده است، و نیز با توجه به نتایج حاصله می‌توان دریافت که هرچند بیشترین میزان نتش بحرانی در زاویه‌ی شیب  $45^\circ$  درجه اتفاق افتاده، ولی چنان‌که در شکل ۱۰ دیده می‌شود و با دقت در تفاضل بین گام‌های ایجاد ترک و القای نتش بحرانی می‌توان به این نتیجه رسید که نتش‌های القایی در زاویه‌ی  $60^\circ$  درجه با نزدیکی افزایش یافته‌اند. این موضوع را می‌توان به عنوان عاملی مؤثر در افزایش سرعت نفوذ تیغه‌ای TBM در نظر گرفت. به منظور بررسی صحبت نتایج به دست آمده، می‌توان به مطالعات انجام شده در رابطه با اثر ناهمسانی بافت سنگ بر سرعت نفوذ تیغه اشاره کرد<sup>[۹, ۱۰, ۱۱]</sup>.

### ۲.۰.۳. بررسی اثر فاصله‌داری دسته درزه

در این بخش، زاویه‌ی شیب مدل ثابت و برابر  $90^\circ$  درجه انتخاب شده و این با فاصله‌داری درزه به عنوان متغیر و برابر  $10^\circ, 20^\circ, 30^\circ, 40^\circ, 50^\circ$  و  $60^\circ$  درجه در نظر گرفته شد. با توجه به الگوریتم پیشنهادی (شکل ۷) و با پیروی از روند بهکار گرفته شده در مطالعه‌ی زوایی شیب، مطالعات انجام شده و نتایج بررسی شدند. مهم‌ترین نتایج حاصل از تغییرات فاصله‌داری درزه را می‌توان چنین برشمود<sup>[۱۲]</sup>:

۱. در فاصله‌داری‌های کوچک‌تر از  $10\text{ میلی‌متر}$  (ضخامت سنگ کم‌تر از  $10\text{ میلی‌متر}$ ) شکست بسته به بار واردی ناشی از بارگذاری تیغه، به یک سطح درزه محدود نشده و چندین سطح را قطع می‌کند. با افزایش ضخامت، به دلیل کاهش سطح آزاد و شرایط محصور بودن سنگ این حالت رخ نمی‌دهد.

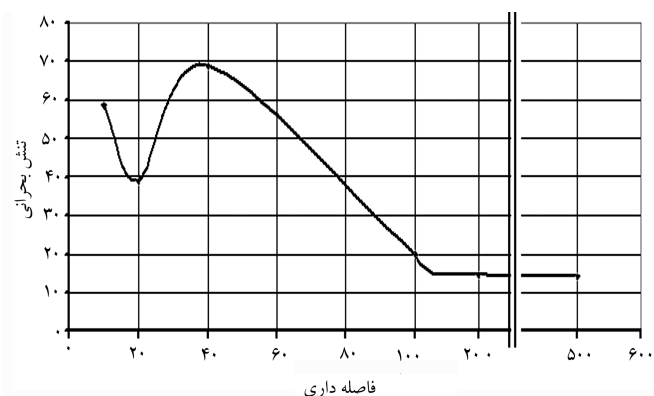
۲. بیشینه نتش القایی در فاصله‌داری  $40\text{ میلی‌متر}$  اتفاق افتاده است. نتایج حاصله

**۴. مقایسه نتایج مدل‌های دو بعدی و سه بعدی**  
با بررسی مدل‌های عددی دو بعدی و سه بعدی معرفی شده در این نوشتار و مقایسه نتایج حاصل از آنها، می‌توان دریافت که هرچند روش مدل‌سازی و تحلیل نتایج در ۲ مدل تا حدودی با هم متفاوت‌اند، نتایج هر دو مدل تطبیق قابل توجهی دارند. از عمدۀ ترین نتایج مدل‌های دو بعدی و سه بعدی می‌توان اشاره کرد به: [۳]

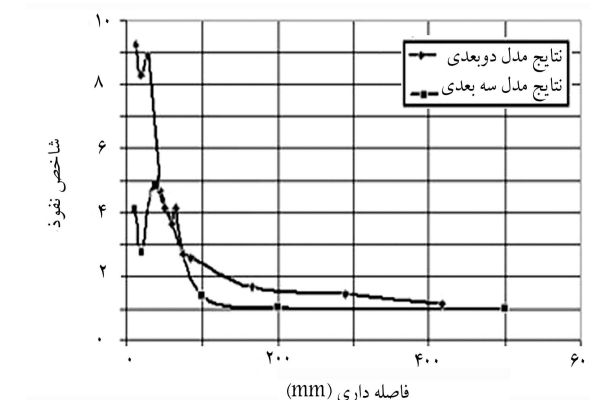
- در مدل دو بعدی، با افزایش زاویه‌ی شیب تا  $60^\circ$  درجه نرخ نفوذ افزایش می‌یابد و سپس کم می‌شود. در مدل سه بعدی، زاویه‌ی بحرانی شیب درزه زاویه‌ی بین  $45^\circ$  تا  $60^\circ$  درجه است که در آن احتمال دست‌یابی به بیشترین پیش‌روی وجود دارد.

در مدل دو بعدی، در فاصله‌داری کمتر از  $20\text{ m}$  میلی‌متر تنش به سرعت با افزایش فاصله‌داری درزه افزایش می‌یابد و برای فاصله‌داری بیش از آن مقدار تنش به طور آهسته افزایش می‌یابد. در مدل سه بعدی، فاصله‌داری بحرانی که در آن تأثیر فاصله‌داری بر میزان تنش بحرانی کاهش چشمگیری می‌یابد، فاصله‌ی  $20\text{ m}$  میلی‌متر است. شکل ۱۲ نشان‌دهنده‌ی تغییرات شاخص نفوذ نسبت به فاصله‌داری، و مقایسه نتایج در دو حالت دو بعدی و سه بعدی است.

چنان‌که دیده می‌شود، روند دو منحنی بسیار قابل تطبیق است و دلیل عدم همپوشانی کامل دو مدل، تفاوت در پارامترهای ورودی و اولیه‌ی هریک از آنها است.



شکل ۱۱. تغییرات تنش بر حسب فاصله‌داری [۳].



شکل ۱۲. مقایسه نتایج در دو مدل دو بعدی و سه بعدی [۳].

الف) ایجاد ترک از صفحه‌ی شکستگی و گسترش آن تا سطح آزاد، ب) ایجاد ترک از بخش خردشده و گسترش آن تا صفحه‌ی ترک. به طور کلی و با توجه به نتایج به دست آمده (که به آنها اشاره شد) می‌توان به مواردی، به عنوان نتایج اصلی، اشاره کرد.

- زاویه‌ی بحرانی شیب درزه، زاویه‌ی بین  $45^\circ$  تا  $60^\circ$  درجه است که در آن احتمال دست‌یابی به بیشترین پیش‌روی وجود دارد.
- فاصله‌داری بحرانی که در آن تأثیر فاصله‌داری بر میزان تنش بحرانی کاهش چشمگیری می‌یابد، فاصله‌ی  $20\text{ m}$  میلی‌متر است.

## پابند

- tunnel boring machine
- cutter

## منابع

- Qiu-Ming gong; Zaho jian, and Jiao Yu-yong. "Numerical modeling of the effects of joint orientation on rock fragmentation by TBM cutters", *Tunneling And Under-*

*ground space technology*, **20**, pp. 183-191, Elsevier (2005).

2. Qiu-Ming gong; Zaho jian, and Jiao Yu-yong. "Numerical modeling of the effects of joint orientation on rock fragmentation by TBM cutters", *Tunneling and Underground space technology* (2005). <http://www.elsevier.com>.
3. Iranzadeh, A.A. "3D numerical modeling of TBM tunnelling in jointed rock masses", MSc thesis, p139, Department of Mining & Metallurgy, Amirkabir University of Technology (2007).

4. Jaeger, J.C. "Shear failure of anisotropic rock." *Geology magazine*, Geoscience World, **97**, (1), pp. 65-72 (1960).
5. Barton, Nick. "TBM tunnelling in jointed and faulted rock", translated to Persian: Salehzadeh, H., Iran, University of science and industry, Tehran, Iran (1382).
6. Ozdemir, L., and Rostami, J. "A new model for performance prediction of hard rock TBMs", *proceeding of Proceeding of Annual Technical Meeting of The excavation engineering and Earth Mechanics Institute*, Colorado school of Mines, Colorado (1996).
7. Rostami, J.; Ozdemir. L., and Nilsen, B. "Compari-  
son between CSM and NTH hard Rock TBM performance prediction models." *Proceeding of Annual Technical Meeting of the Institute of Shaft Drilling and Technology (ISDT)*, Las Vegas NV, p. 11 (2004).
8. Vutukuri, V.S., and Katsuyama, K. "Introduction to rock mechanics", translated to Persian: Hoseini-M.F., university books Pub. Tehran (1379).
9. Hoek, E., and Brown, E.T. "Underground excavations in rock", ? , Translated to Persian: Fahimifard-A, Soil mechanics laboratory of roads and transportation ministry of Iran (1376).